

平成17年度 卒業研究報告書

有限積分法による 電磁場の時間領域解析

秋田工業高等専門学校 電気工学科

研究者名 滑川 雅人

指導教員名 山本 昌志

要旨

本研究では有限積分法を用いて，時間領域の電磁場を解析するためのプログラム作成を行った．解析対象は軸対称周期構造の加速管である．

有限積分法では 2 種類の Yee 格子と呼ばれる空間格子で空間を分割する．その空間におけるマクスウェル方程式はマクスウェルグリッド方程式と呼ばれる式で表される．

この有限積分法を基に，軸対称加速管内を伝搬する TM_0 モードの電磁場を計算する基本式の導出を行いプログラムを作成した．

目次

第1章 序論	1
第2章 有限積分法による電磁場解析理論	2
2.1 FITの基本概念	2
2.2 マクスウェルグリッド方程式	3
2.3 解析対象	5
2.4 軸対称問題	5
2.4.1 rz 平面	6
2.4.2 θz 平面	6
2.4.3 $r\theta$ 平面	7
2.5 軸対称問題の有限積分法における電磁場の相互関係	8
2.5.1 e と d の相互関係	8
2.5.2 b と h の相互関係	9
2.6 軸対称問題におけるマクスウェルグリッド方程式	9
2.7 数値計算に用いる方程式	10
第3章 数値計算	11
3.1 プログラムの概要	11
第4章 計算結果	12
第5章 まとめ	15
付録A 計算プログラム	18

第1章 序論

加速器などの設計では，計算機による数値シミュレーションは実用上非常に有用である．加速器に限らず，どのような機器の設計でも，実物を製作して所定の特性を有しているかを試験することは，時間とコストの面からみて著しく効率の悪い方法である．また，簡単なモデルについては人間が特性を算出できるが，複雑なモデルについては事実上不可能である．そのため，計算機による数値シミュレーションは非常によく用いられている．

現在，マイクロ波やアンテナ伝搬などの3次元時間領域におけるコンピュータを用いた数値シミュレーションでは，差分型の方法である時間領域差分法 (FDTD 法) や有限積分法 (FIT 法) が主に用いられている [1]．この2つは，ともに1966年に Yee によって考案された，Yee 格子と呼ばれる空間格子モデルで，電磁場を空間と時間に関して離散化するという概念に基づいている．FDTD 法は時間領域の解析にのみ用いることができるが，FIT 法は時間領域，周波数領域，静電磁場，渦電流場に適用が可能である．本研究では，広範囲に応用が可能な FIT 法を用いて，軸対称加速管内部の電磁場を数値シミュレーションする計算プログラムの開発を行なった．

今回は以下に示す軸対称周期構造の加速管を解析対象とした．

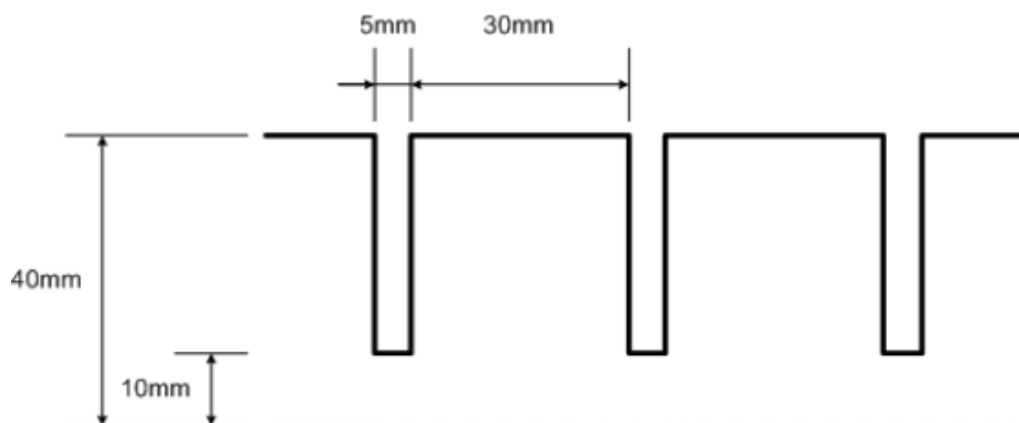


図 1.1: 軸対称周期構造加速管

この加速管の共振周波数は約 3000MHz である．

第2章 有限積分法による電磁場解析理論

2.1 FITの基本概念

電流も電荷も存在しない空間 ($\rho = 0, j = 0$) における電磁場は，マクスウェル方程式

$$\nabla \cdot \mathbf{D} = 0 \quad (2.1)$$

$$\nabla \cdot \mathbf{B} = 0 \quad (2.2)$$

$$\nabla \times \mathbf{E} = -\frac{\partial \mathbf{B}}{\partial t} \quad (2.3)$$

$$\nabla \times \mathbf{H} = \frac{\partial \mathbf{D}}{\partial t} \quad (2.4)$$

で表される．ここで， \mathbf{D} は電束密度， \mathbf{B} は磁束， \mathbf{E} は電場， \mathbf{H} は磁場である．また，

$$\mathbf{D} = \varepsilon \mathbf{E} \quad (2.5)$$

$$\mathbf{B} = \mu \mathbf{H} \quad (2.6)$$

ここで， ε は空間の誘電率， μ は空間の透磁率である．これらの偏微分方程式をコンピュータで直接解くことはできないが，マクスウェル方程式を差分化すれば解くことができる．そのためにはまず，時間と空間を離散化する必要がある．ここで，時間と空間をそれぞれ $\Delta t, \Delta l$ を単位に離散化する（ここでは，簡単のため x, y, z すべての方向で，単格子サイズ Δl で離散化するものとした）[2]．

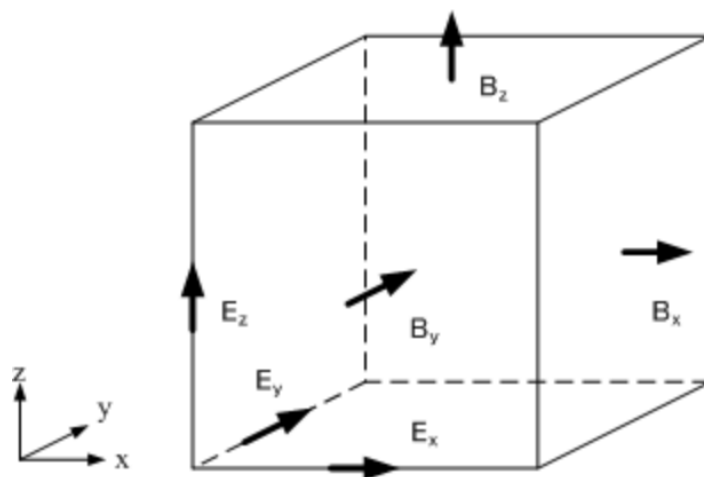


図 2.1: 電磁場の Yee 格子モデル

図 2.1 の，空間格子に電磁場の各成分を配置したものは Yee 格子と呼ばれる．この Yee 格子を 2 種類に分け，図 2.2 の 2 重グリッドで空間を格子化するというのが FIT 法の基本的な概念である．図 2.2 において，グリッド G 上に E, B ，デュアルグリッド \tilde{G} 上に D, H を配置している．ここで，デュアルグリッド \tilde{G} の頂点がグリッド G の中心にくるように配置されている．

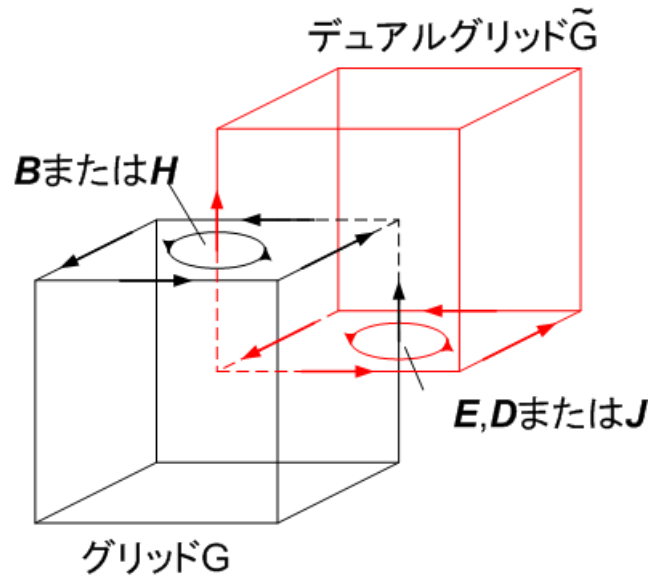


図 2.2: 電磁場の 2 重グリッド構造

2.2 マクスウェルグリッド方程式

ここでは，マクスウェル方程式の回転の項のみを取り扱うこととする．式 (2.3) と式 (2.4) の両辺を dS で積分すると

$$\int \nabla \times \mathbf{E} \cdot \mathbf{n} \, dS = -\frac{\partial}{\partial t} \int \mathbf{B} \cdot \mathbf{n} \, dS \quad (2.7)$$

$$\int \nabla \times \mathbf{H} \cdot \mathbf{n} \, dS = \frac{\partial}{\partial t} \int \mathbf{D} \cdot \mathbf{n} \, dS \quad (2.8)$$

となる．式 (2.7) と式 (2.8) にストークスの定理を適用して，

$$\int \nabla \times \mathbf{E} \cdot \mathbf{n} \, dS = \int \mathbf{E} \, d\ell \quad (2.9)$$

$$\int \nabla \times \mathbf{H} \cdot \mathbf{n} \, dS = \int \mathbf{H} \, d\ell \quad (2.10)$$

と変形できる．よって，式 (2.7) と式 (2.8) は

$$\oint \mathbf{E} \, d\ell = -\frac{\partial}{\partial t} \int \mathbf{B} \cdot \mathbf{n} \, dS \quad (2.11)$$

$$\oint \mathbf{H} \, d\ell = \frac{\partial}{\partial t} \int \mathbf{D} \cdot \mathbf{n} \, dS \quad (2.12)$$

と表される．ここで，図 2.3 のようなグリッド面を考える．

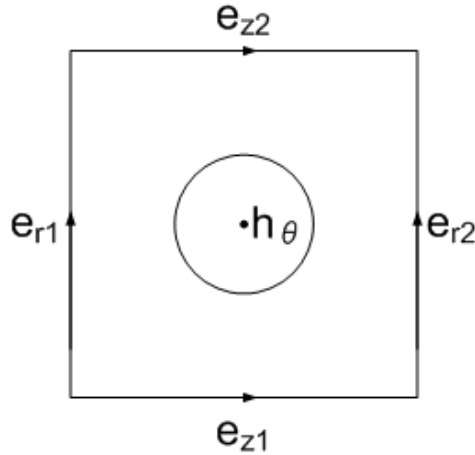


図 2.3: ファラデーの周回積分の有限積分表示

このとき，

$$e = \int \mathbf{E} \, d\ell \quad (2.13)$$

$$b = \int \mathbf{B} \cdot \mathbf{n} \, dS \quad (2.14)$$

$$h = \int \mathbf{H} \, d\ell \quad (2.15)$$

$$d = \int \mathbf{D} \cdot \mathbf{n} \, dS \quad (2.16)$$

と定義すると，図 2.3 上での式 (2.11) と式 (2.12) は

$$e_{y2} - e_{y1} - e_{x2} + e_{x1} = \dot{b}_z \quad (2.17)$$

$$h_{y2} - h_{y1} - h_{x2} + h_{x1} = \dot{d}_z \quad (2.18)$$

で表される．このように，方程式の係数が 1, -1, 0 で表される．これを領域全体について考えると，各グリッドの方程式の連立方程式になる．ここで，電場を各辺で積分した量 e ，磁束を各面で積分した量 b ，磁場を各辺で積分した量 h ，電束密度を各面で積分した量 d

を電磁場の各成分を 1 列に並べた行列とすると

$$\mathbf{e} = [e_{x1}, e_{x2}, \dots, e_{xn} | e_{y1}, e_{y2}, \dots, e_{yn} | e_{z1}, e_{z2}, \dots, e_{zn}]^t \quad (2.19)$$

$$\mathbf{b} = [b_{x1}, b_{x2}, \dots, b_{xn} | b_{y1}, b_{y2}, \dots, b_{yn} | b_{z1}, b_{z2}, \dots, b_{zn}]^t \quad (2.20)$$

$$\mathbf{h} = [h_{x1}, h_{x2}, \dots, h_{xn} | h_{y1}, h_{y2}, \dots, h_{yn} | h_{z1}, h_{z2}, \dots, h_{zn}]^t \quad (2.21)$$

$$\mathbf{d} = [d_{x1}, d_{x2}, \dots, d_{xn} | d_{y1}, d_{y2}, \dots, d_{yn} | d_{z1}, d_{z2}, \dots, d_{zn}]^t \quad (2.22)$$

となる．式 (2.19) , 式 (2.20) , 式 (2.21) , 式 (2.22) を用いた各グリッドにおける式 (2.17) , 式 (2.18) の連立方程式は

$$C \mathbf{e} = -\dot{\mathbf{b}} \quad (2.23)$$

$$\tilde{C} \mathbf{h} = \dot{\mathbf{d}} \quad (2.24)$$

と書ける．式 (2.23) , 式 (2.24) はマクスウェルグリッド方程式と呼ばれる．ここで, C, \tilde{C} は成分が 1, -1, 0 で構成される行列である．式 (2.3) , 式 (2.4) と式 (2.23) , 式 (2.24) を比較すると, C, \tilde{C} は *rot* 演算子に対応している．今回, 我々は直に使用しなかったが, 発散 (*div* 演算子) に対応する行列 S と \tilde{S} もある．すなわち, 有限積分法ではマクスウェル方程式に表れる回転や発散は, それと 1 対 1 に対応する行列に置き換わる．このことから, 自己矛盾のない完全な離散化されたマクスウェル方程式ができる．

2.3 解析対象

今回, 我々が解析対象としたのは図 1.1 に示す周期構造の軸対称加速管である．境界は金属境界と両端が吸収境界, 内部空洞は真空とし, 電流も電荷も存在しないものとした．さらに, 取り扱うモードは TM_0 とする．すると, 位置 (r, z, θ) の関数である電場の各成分 (E_r, E_z, E_θ) と磁場の各成分 (H_r, H_z, H_θ) のうち

$$E_\theta = 0 \quad H_r = 0 \quad H_z = 0 \quad (2.25)$$

となる．また, その対称性から E_r, E_z, H_θ は θ に依存せず, (r, z) の関数となる．

2.4 軸対称問題

以上のことから, 軸対称問題におけるマクスウェルグリッド方程式について考える．ここで, 位置 (r, z) と時間 (t) の関数である電磁場の各成分を簡潔に表記するため, 以下のように記述する．

$$e(r, z, t) = e_{r,z}^t \quad (2.26)$$

$$b(r, z, t) = b_{r,z}^t \quad (2.27)$$

$$h(r, z, t) = h_{r,z}^t \quad (2.28)$$

$$d(r, z, t) = d_{r,z}^t \quad (2.29)$$

2.4.1 rz 平面

式(2.23)を図2.4の領域について考える．まず，この領域において式(2.11)の右辺と左辺はそれぞれ

$$\begin{aligned} \oint \mathbf{E} \, dl &= \int E_{z_{i,j-\frac{1}{2}}}^{n+\frac{1}{2}} \, dl - \int E_{z_{i,j+\frac{1}{2}}}^{n+\frac{1}{2}} \, dl \\ &\quad - \int E_{r_{i-\frac{1}{2},j}}^{n+\frac{1}{2}} \, dl + \int E_{r_{i+\frac{1}{2},j}}^{n+\frac{1}{2}} \, dl \\ &= e_{z_{i,j-\frac{1}{2}}}^{n+\frac{1}{2}} - e_{z_{i,j+\frac{1}{2}}}^{n+\frac{1}{2}} \\ &\quad - e_{r_{i-\frac{1}{2},j}}^{n+\frac{1}{2}} + e_{r_{i+\frac{1}{2},j}}^{n+\frac{1}{2}} \end{aligned} \quad (2.30)$$

$$- \frac{\partial}{\partial t} \int \mathbf{B} \cdot \mathbf{n} \, dS = -\dot{b}_{\theta_{i,j}} \quad (2.31)$$

となる．式(2.30)と式(2.31)より，式(2.23)の行列 C は $b_{\theta_{i,j}}$ と同じ行の $e_{z_{i,j-\frac{1}{2}}}, e_{z_{i,j+\frac{1}{2}}}, e_{r_{i-\frac{1}{2},j}}, e_{r_{i+\frac{1}{2},j}}$ に対応する列に1または-1を配置し，それ以外の列には0を配置すればよい．

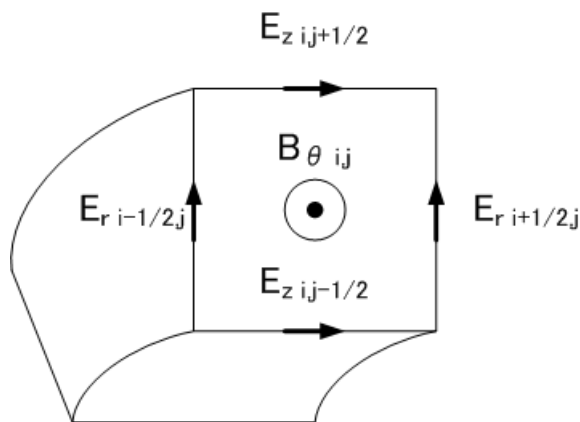


図 2.4: rz 平面

2.4.2 θz 平面

次に，式(2.24)を図2.5の領域について考える．まず，この領域において式(2.12)の右辺と左辺はそれぞれ

$$\begin{aligned} \oint \mathbf{H} \, dl &= \int H_{\theta_{i-1,j}}^n \, dl - \int H_{\theta_{i,j}}^n \, dl \\ &= h_{\theta_{i-1,j}}^n - h_{\theta_{i,j}}^n \end{aligned} \quad (2.32)$$

$$\frac{\partial}{\partial t} \int \mathbf{D} \cdot \mathbf{n} \, dS = \dot{d}_{r_{i-\frac{1}{2},j}} \quad (2.33)$$

となる．式 (2.32) と式 (2.33) より， rz 平面の場合と同様に，式 (2.24) の行列 \tilde{C} は $d_{r_{i-\frac{1}{2},j}}$ と同じ行の $e_{\theta_{i-1,j}}, e_{\theta_{i,j}}$ に対応する列に 1 または -1 を配置し，それ以外の列には 0 を配置すればよい．

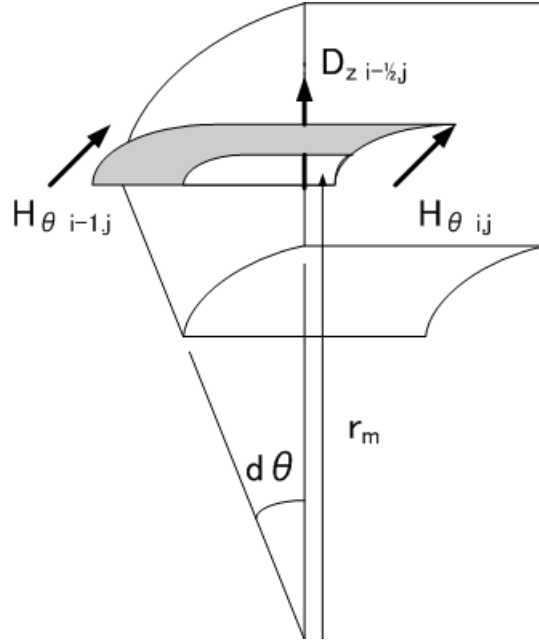


図 2.5: θz 平面

2.4.3 $r\theta$ 平面

同様に，式 (2.24) を図 2.6 の領域についても考える．まず，この領域において式 (2.12) の右边と左边はそれぞれ

$$\begin{aligned} \oint \mathbf{H} \cdot d\mathbf{l} &= \int H_{\theta_{i,j+1}}^n \cdot d\mathbf{l} - \int H_{\theta_{i,j}}^n \cdot d\mathbf{l} \\ &= h_{\theta_{i,j+1}}^n - h_{\theta_{i,j}}^n \end{aligned} \quad (2.34)$$

$$\frac{\partial}{\partial t} \int \mathbf{D} \cdot \mathbf{n} \cdot d\mathbf{S} = \dot{d}_{z_{i,j+\frac{1}{2}}} \quad (2.35)$$

となる．式 (2.34) と式 (2.35) より， rz 平面， θz 平面の場合と同様に，式 (2.24) の行列 \tilde{C} は $d_{z_{i,j+\frac{1}{2}}}$ と同じ行の $e_{\theta_{i,j+1}}, e_{\theta_{i,j}}$ に対応する列に 1 または -1 を配置し，それ以外の列には 0 を配置すればよい．

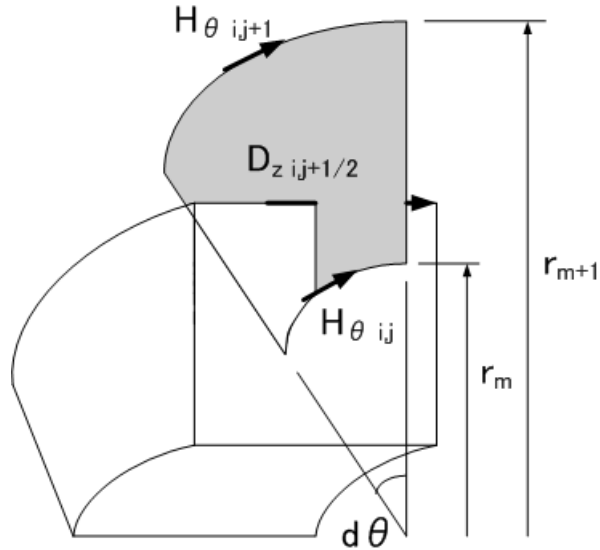


図 2.6: $r\theta$ 平面

2.5 軸対称問題の有限積分法における電磁場の相互関係

前節で，軸対称問題における行列 C, \tilde{C} の成分の配置について述べた．しかし，実際に式 (2.23) と式 (2.24) を解くためには， e と d ， b と h それぞれの相互関係を知る必要がある．ここでは， e と d ， b と h それぞれの相互関係について述べる．

2.5.1 e と d の相互関係

電場 E と電束密度 D の間には式 (2.5) の関係がある．ここで，領域中で ε は一定とする．まず， r 成分について考える．図 2.5 において

$$e_r = \int E_r dl = E_r dl \quad (2.36)$$

$$d_r = \int D_r dS = \varepsilon \int E_r dS = \varepsilon E_r dl r_m d\theta \quad (2.37)$$

である．式 (2.36) と式 (2.37) より

$$d_r = \varepsilon e_r r_m d\theta \quad (2.38)$$

となる．ここで， r_m は中心からの距離である．

次に， z 成分について考える．図 2.6 において

$$e_z = \int E_z dl = E_z dl \quad (2.39)$$

$$d_z = \int D_z dS = \varepsilon \int E_z dS = \varepsilon E_z dl \frac{1}{2} (r_{m+1}^2 - r_m^2) d\theta \quad (2.40)$$

となる．式 (2.39) と式 (2.40) から

$$d_z = \varepsilon e_z \frac{1}{2} (r_{m+1}^2 - r_m^2) d\theta \quad (2.41)$$

と書ける．ここで， r_{m+1}, r_m は中心からの距離である．

2.5.2 b と h の相互関係

b と h についても同様に考える．磁束 B と磁場 H には式 (2.6) の関係がある．ここで，領域内で μ は一定とする．図 2.4 において

$$b_\theta = \int B_\theta dS = B_\theta d\ell^2 \quad (2.42)$$

$$h_\theta = \int H_\theta d\ell = \frac{1}{\mu} \int B_\theta d\ell = \frac{1}{\mu} B_\theta r_m d\theta \quad (2.43)$$

である．式 (2.42) と式 (2.43) より

$$h_\theta = \frac{1}{\mu d\ell^2} b_\theta r_m d\theta \quad (2.44)$$

となる．

2.6 軸対称問題におけるマクスウェルグリッド方程式

式 (2.38)，式 (2.41)，式 (2.44) より式 (2.24) を書き直すと

$$\left(\frac{1}{\mu d\ell^2} r_m d\theta \right) \tilde{C} b_\theta = \left(r_m \text{ 又は } \frac{1}{2} r_{m+1}^2 - r_m^2 \right) (\varepsilon d\theta) \dot{e} \quad (2.45)$$

式 (2.45) を変形して，

$$(A_r \text{ 又は } A_z) \tilde{C} b_\theta = \dot{e} \quad (2.46)$$

$$A_r = \left(\frac{1}{\varepsilon \mu d\ell^2} \right) \quad (2.47)$$

$$A_z = \left(\frac{1}{\varepsilon \mu d\ell^2} \right) \left(\frac{2r_m}{r_{m+1}^2 - r_m^2} \right) \quad (2.48)$$

となる．式 (2.46) において各係数を行列 \hat{C} 内に含むことにすると

$$\hat{C} \mathbf{b} = \dot{e} \quad (2.49)$$

と書ける．ここで， \hat{C} は \tilde{C} の e_r に対応する列に A_r を， e_z に対応する列に A_z を乗算したものである．

2.7 数値計算に用いる方程式

式 (2.23) と式 (2.49) の右辺は微分の定義から

$$-\dot{\mathbf{b}} = -\frac{\mathbf{b}^n - \mathbf{b}^{n-1}}{dt} \quad (2.50)$$

$$\dot{e} = \frac{e^{n+\frac{1}{2}} - e^{n-\frac{1}{2}}}{dt} \quad (2.51)$$

である．ここで， dt は微少な時間の刻み幅である．式 (2.50) と式 (2.51) から，式 (2.23) と式 (2.49) は

$$C e^{n-\frac{1}{2}} = -\frac{\mathbf{b}^n - \mathbf{b}^{n-1}}{dt} \quad (2.52)$$

$$\hat{C} \mathbf{b}^n = \frac{e^{n+\frac{1}{2}} - e^{n-\frac{1}{2}}}{dt} \quad (2.53)$$

となる．式 (2.52) と式 (2.53) を変形すると

$$\mathbf{b}^n = \mathbf{b}^{n-1} - C e^{n-\frac{1}{2}} dt \quad (2.54)$$

$$e^{n+\frac{1}{2}} = e^{n-\frac{1}{2}} + \hat{C} \mathbf{b}^n dt \quad (2.55)$$

と書ける．式 (2.54) と式 (2.55) を交互に計算することで，時間を追って電磁場の状態を算出することができる．ここで，安定した解を得るための条件として

$$dt \leq \frac{1}{\sqrt{\left(\frac{1}{dx}\right)^2 + \left(\frac{1}{dy}\right)^2 + \left(\frac{1}{dz}\right)^2}} \frac{1}{C_0} \quad (2.56)$$

という条件 (クーラン条件) が知られている． dx, dy, dz は xyz 座標系における， Yee 格子の x 方向， y 方向， z 方向のサイズである． C_0 は光の速度 ($C_0 = 299792458$ [m/s]) である．

第3章 数値計算

3.1 プログラムの概要

本研究では，有限積分法を用いて電磁場を時間領域で解析するプログラムを作成した．使用した言語は C++ である．

プログラムの構成は主に次の構成から成っている．

1. クーラン条件から時間刻み幅を決定
2. 行列 C, \hat{C} の成分配置
3. 格子の座標を記述したファイルの出力
4. 式 (2.54) から磁束を算出する
5. 式 (2.55) から電場を算出する
6. 境界条件を適用 [3]
7. 計算結果の出力

また，今回作成したプログラムとは別に出力したファイルから，電磁場の状態をグラフィカルに表示するプログラムを用いた．

まず，計算領域と格子サイズを入力する．そして，クーラン条件から時間の刻み幅を決定する．また，計算領域と境界条件から式 (2.47) と式 (2.48) を用いて行列 C, \hat{C} の成分を計算する．そして，境界条件を適用しながら式 (2.54) と式 (2.55) を交互に計算することで，電磁場の時間領域における状態の変化を解析できる．

第4章 計算結果

今回作成したプログラムを用いて，図1.1の軸対称加速管にパルスを入射したときの電磁場の状態を解析した．以下に解析結果を示す．図は磁場の強さを表示している．図において緑は0，黄色から赤，白と変化するにつれ正に大きな磁場，青から黒へと変化するにつれ負に大きな磁場を表す．ここで，パルス入射時間 $T = 3[nS]$ ，時間刻み幅 $dt = 2.358595 \times 10^{-12}[S]$ ですべて一定である．



図 4.1: 初期状態



図 4.2: 入射信号 0.6GHz 計算ステップ 450Step



図 4.3: 入射信号 0.6GHz 計算ステップ 1500Step



図 4.4: 入射信号 0.6GHz 計算ステップ 4500Step

共振周波数からある程度低い周波数になると，入り口付近でほとんど反射し，右側へは電磁場は通過しない．



図 4.5: 初期状態



図 4.6: 入射信号 6GHz 計算ステップ 450Step

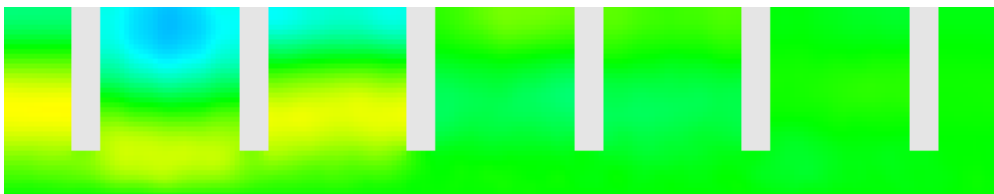


図 4.7: 入射信号 6GHz 計算ステップ 1500Step



図 4.8: 入射信号 6GHz 計算ステップ 4500Step

共振周波数よりもある程度大きい周波数では，電磁場は加速管の内部にほとんど残らずに抜けていくことがわかる．

このことから，この加速管は周波数フィルタの機能を持つことがわかる．



図 4.9: 初期状態



図 4.10: 入射信号 3GHz 計算ステップ 450Step



図 4.11: 入射信号 3GHz 計算ステップ 1500Step

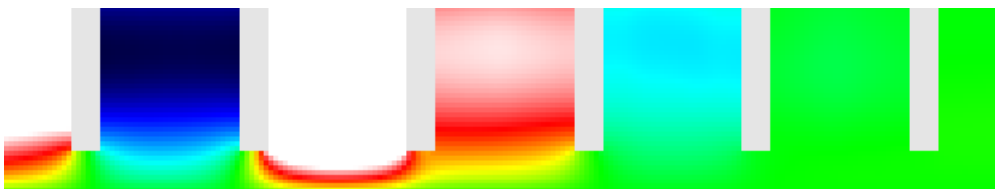


図 4.12: 入射信号 3GHz 計算ステップ 4500Step

共振周波数付近では、電磁場の進行速度が低下し、エネルギー密度が増加している。そのため、強い電磁場が加速管内に蓄積していることがわかる。

加速管はこの蓄積された強い電磁場で粒子を加速する機器である。

第5章 まとめ

軸対称空間に対する有限積分法の計算式を導いた．その計算式を用いて，有限積分法による軸対称加速管内部の電磁場を時間領域解析するプログラムを作成した．

今後の課題として，まずは計算精度の検証と精度の向上が挙げられる．今回の研究では計算精度に関しては検証しなかった．しかし，計算精度は加速器の設計などでは非常に重要である．そのため，計算精度を検証する事とその向上が望まれる．具体的な検証方法については，市販されているプログラムとの比較が考えられる．

また，三角形メッシュへの対応が挙げられる．今回作成したプログラムでは領域を正方形分割したが，これは形状精度があまりよくない．すなわち，曲線要素や複雑な形状に対してよい分割を行うことができない．そのため，より形状精度の高い三角形メッシュへの対応も望まれる．これは計算精度の向上にもつながる．

さらに，計算速度の向上も考えられる．本研究室では，作成したプログラムを最終的には商品化する事を目指している．その際，計算速度が速いことは一つのセールスポイントと成りうる．加えて，計算速度が向上すればより細かいメッシュや，より広い領域での解析を行うことが可能となる．そのため，計算速度を向上させることも必要である．

関連図書

- [1] 本間利久・五十嵐一・川口秀樹. 計算電気・電子工学シリーズ 数値電磁力学. 森北出版株式会社, 2002.
- [2] R. Wanzenberg T. Weiland. Wake field and impedances, may 1991. DESY M-91-06.
- [3] 堀之内總一他. ANSI C による 数値計算法入門. 森北出版株式会社, 2002.

謝辞

ご指導してくださった担当教員の山本昌志先生，さまざまな面でご協力していただいた専攻科の夏井拓也さん，宮田翔吾さんに感謝の意を表します．

付録A 計算プログラム

リスト A.1: 有限積分法を用いた軸対称加速管内電磁場解析プログラム

```
1 #include<iostream>
2 using namespace std;
3 #include<cmath>
4 #include<fstream>
5 #include<cstdlib>
6 #include<cstring>
7 #include "matrix.h"
8
9 void FIT();
10 int Courant(double &dlt, double DELTA_L, double C);
11
12 void Cal_const(double &dlr, double &dlz, double &ct1, double &ctb,
13 double &cte, double C, double DELTA_L,
14 double MU, double UPSILON, double dlt);
15
16 void Make_C_Matrix(int nez, int ner, int nr, int nb, Matrix &ce,
17 Matrix &cb, int Height [], int Width []);
18 void File_init(char filename [], int nz, int nr, int MAX_FILE,
19 double Z, double R, int Height [], int Width []);
20 void ABC(int nez, int ne, int nr, double ct1, Matrix &e, Matrix e_ret);
21 void BC(int nr, int nez, Matrix &e, double t, double freq);
22 void Make_wall(int nez, int nr, int nz, int ner, int nez,
23 Matrix &e, int Height [], int Width []);
24 int File_out(char filename [], int nr, int nz, int nez, int ne,
25 Matrix e, Matrix b);
26
27 void Cal_mag(Matrix e, Matrix &b, Matrix ce, double cte, int nb);
28 void Ret_ele(Matrix e, Matrix &e_ret, int ne, int nr, int nez);
29 void Cal_ele(Matrix &e, Matrix b, Matrix cb, int ne, int nez,
30 int nr, double R0, double dlr, double ctb);
31
32 int main(void){
33
34     FIT();
35     return 0;
36
37 }
38
39 void FIT(){
40     const double R = .210;
41     const double R0 = .000;
42     const double Z = .210;
43     const double DELTA_L = .001;
44     const double DELTA_T = 1.0e-10;
```

```

45  const double Height_in = .001;
46  const double Height_high = .040 + Height_in;
47  const double Height_low = .010 + Height_in;
48  const double Width_init = .015;
49  const double Width_wide = .030;
50  const double Width_narrow = .005;
51  const double T1 = 3.0e-9;
52  //const double T1 = 10.0e-6;
53
54  const double UPSILON = 8.85418e-12;
55  const double MU = 1.25663e-6;
56  const double C = 2.998e8;
57
58  const int MAX_FILE = 999;
59  const int OUT_STEP = 15;
60
61  double r2 = 0.0;
62  double r1 = 0.0;
63  double rr = 0.0;
64  double dlt = 0.0;
65
66  int nr = int ( ( R - R0 ) / DELTAL );
67  int nz = int ( Z / DELTAL );
68  int nglid = nr * nz;
69  int nez = nglid + nz;
70  int ner = nglid + nr;
71  int ne = nez + ner;
72  int nb = nglid + nr;
73
74  int flag = 0;
75  int i = 0;
76  int j = 0;
77  int k = 0;
78  int temp_i = 0;
79  double t = 0.0;
80
81  int Height[3];
82  int Width[3];
83
84  Height[0] = int ( Height_in / DELTAL );
85  Height[1] = int ( Height_low / DELTAL );
86  Height[2] = int ( Height_high / DELTAL );
87
88  Width[0] = int ( Width_init / DELTAL );
89  Width[1] = int ( Width_narrow / DELTAL );
90  Width[2] = int ( Width_wide / DELTAL );
91
92  double dlr = 0.0;
93  double dlz = 0.0;
94  double ct1 = 0.0;
95  double ctb = 0.0;
96  double cte = 0.0;
97  double freq = 0.0;
98  char filename[80] = "file_out";
99  char temp_c;

```

```

100
101 double sum = 0.0;
102 int sign = 0;
103 int num = 0;
104
105 //Make Matrix
106 Matrix e(ne, 1);
107 printf("Make Matrix e is ok!!\n");
108
109 Matrix b(nb, 1);
110 printf("Make Matrix b is ok!!\n");
111
112 Matrix ce(nb, 5);
113 printf("Make Matrix ce is ok!!\n");
114
115 Matrix cb(ne, 5);
116 printf("Make Matrix cb is ok!!\n");
117
118 Matrix e_ret(ne, 1);
119 printf("Make Matrix ok!!\n");
120
121 //Inspection of Courant condition
122 Courant(dlt, DELTA_L, C);
123
124 //Calculation of constant
125 Cal_const(dlr, dlz, ct1, ctb, cte, C, DELTA_L, MU, UPSILON, dlt);
126
127 //Input of frequency
128 printf("How much is frequency ?\n");
129 printf(" f MHz = ");
130 scanf("%lf%c", &freq, &temp_c);
131 printf(" f MHz = %lf\n", freq);
132
133 //File_init
134 File_init(filename, nz, nr, MAX_FILE, Z, R, Height, Width);
135
136 //Make C matrix
137 Make_C_Matrix(nez, ner, nr, nb, ce, cb, Height, Width);
138
139 //Decision of territory
140 //Dec_ter(nr, nz, nez, ne, nb, ce, cb, Height, Width);
141
142 while(1){
143     //i = 1;
144     //j = 1;
145
146     //Calculation of magnetic field
147     Cal_mag(e, b, ce, cte, nb);
148
149     //Retention of electric field
150     //er
151     Ret_ele(e, e_ret, ne, nr, nez);
152
153     //Calculation of electric field
154     Cal_ele(e, b, cb, ne, nez, nr, R0, dlr, ctb);

```

```

155
156 //Absorption boundary condition
157 ABC(nez, ne, nr, ct1, e, e_ret);
158
159 //Boundary condition
160 if(t <= T1){
161     BC(nr, nez, e, t, freq);
162 }
163 Make_wall(nez, nr, nz, ner, nez, e, Height, Width);
164
165 //file_out
166 if( 0 == flag ){
167     if( File_out(filename, nr, nz, nez, ne, e, b) >= MAX_FILE ){
168         break;
169     }
170     //cout << t << "\n";
171 }
172
173 t += dlt;
174 flag++;
175 if( OUT_STEP <= flag ){
176     flag = 0;
177 }
178 }
179 }
180
181 int Courant(double &dlt, double DELTAL, double C){
182     dlt = DELTAL / sqrt(2) / C;
183     return 1;
184 }
185
186 void Cal_const(double &dlt, double &dlz, double &ct1, double &ctb,
187 double &cte, double C, double DELTAL, double MU, double UPSILON,
188 double dlt){
189
190     dlt = DELTAL;
191     dlz = DELTAL;
192     ct1 = (C * dlt - DELTAL) / (C * dlt + DELTAL);
193     //cte = dlt;
194     //ctb = dlt / ( DELTAL * DELTAL * MU * UPSILON);
195     ctb = dlt / UPSILON;
196     //cte = dlt / MU / DELTAL;
197     cte = dlt / ( DELTAL * DELTAL * MU );
198     //ctb = dlt / UPSILON;
199     //cte = dlt / MU;
200
201
202
203     printf("dlt = %e\tct1 = %e\n", dlt, ct1);
204     printf("cte = %e\tctb = %e\n", cte, ctb);
205 }
206
207 void Make_C_Matrix(int nez, int ner, int nr, int nb, Matrix &ce,
208 Matrix &cb, int Height [], int Width []){
209     int i = 0;

```



```

210 int count = 1;
211
212 //ez
213 for(i = 1; i <= nez; i++){
214     if( Height[2]+3 < ( i % nr ) ) continue;
215     count = 1;
216     switch(i % nr + 1){
217     case 0:
218         break;
219         /*
220     case 1:
221         ce[i][count] = i;
222         count++;
223         ce[i][count] = -(-i);
224         count++;
225         break;
226         */
227     default:
228         ce[i][count] = i;
229         count++;
230         ce[i][count] = -(i + 1);
231         count++;
232         break;
233     }
234 //er
235     if(i <= ner-nr){
236         ce[i][count] = -(nez + i);
237         count++;
238         ce[i][count] = nez + i + nr;
239     }
240 }
241
242 //hs
243 count = 1;
244 //ez
245 for(i = 1; i <= nb - nr; i++){
246     if( Height[2]+3 < ( i % nr ) ) continue;
247     switch(i % nr){
248     case 1:
249         cb[i][1] = -(-i);
250         cb[i][2] = i;
251         break;
252     default:
253         //if(1 != i % nr){
254         cb[i][1] = -(i - 1);
255         cb[i][2] = i;
256         //}
257         break;
258     }
259 }
260 //er
261 for(i = nr+1; i <= nb - nr; i++){
262     if( Height[2] < ( i % nr ) ) continue;
263     cb[nez+i][1] = i - nr;
264     cb[nez+i][2] = -i;

```

```

265     }
266     cout << "Make C Matris OK!!\n";
267
268 }
269
270
271 void File_init(char filename [], int nz, int nr, int MAX_FILE,
272 double Z, double R, int Height [], int Width []){
273     int file_out_r = 0;
274     int file_out_z = 0;
275     double file_out_rl = 0.0;
276     double file_out_zl = 0.0;
277     double dr = R / nr;
278     double dz = Z / nz;
279     int flag = 2;
280     int count = 0;
281     int check = 2;
282
283     FILE *fp;
284     fp = fopen(filename , "w");
285
286     fprintf(fp , "$options\n");
287     fprintf(fp , "horizontal_range\t0\t%lf\n" , Z);
288     fprintf(fp , "vertical_range\t0\t%lf\n" , R);
289     fprintf(fp , "value_range\t-0.1\t0.1\n");
290     fprintf(fp , "max_data %d\n\n" , MAX_FILE);
291     fprintf(fp , "$end\n");
292     fprintf(fp , "$coordinates\n");
293
294     for(file_out_z = 1; file_out_z <= (nz); file_out_z++){
295         file_out_zl = file_out_z * dz;
296
297         for(file_out_r = 1; file_out_r <= (nr); file_out_r++){
298             file_out_rl = file_out_r * dr;
299             //fprintf(fp , "%lf\t%lf\tpaint\n" , file_out_zl , file_out_rl);
300
301             if(Height[0] <= file_out_r && Height[check] > file_out_r){
302                 fprintf(fp , "%lf\t%lf\tpaint\n" , file_out_zl , file_out_rl);
303             }
304             else{
305                 fprintf(fp , "%lf\t%lf\tnot\n" , file_out_zl , file_out_rl);
306             }
307         }
308     }
309
310     count++;
311
312     if(2 == flag && Width[0] <= count){
313         flag = !flag;
314         check = 1;
315         count = 0;
316     }
317     else if(0 == flag && Width[1] < count){
318         flag = !flag;
319         check = 2;

```

```

320     count = 0;
321 }
322 else if(1 == flag && Width[2]-1 <= count){
323     flag = !flag;
324     check = 1;
325     count = 0;
326 }
327
328     fprintf(fp, "\n");
329 }
330 fclose(fp);
331 printf("file_init ok!!\n");
332 }
333
334 void ABC(int nez, int ne, int nr, double ct1, Matrix &e, Matrix e_ret){
335     int i;
336     //er
337     for(i = 1; i <= (nr); i++){
338         e[ne-nr+i][1] = e_ret[ne-2*nr+i][1]
339 + ct1 * (e[ne-2*nr+i][1] - e_ret[ne-nr+i][1]);
340
341         e[nez+i][1] = e_ret[nez+nr+i][1]
342 + ct1 * (e[nez+nr+i][1] - e_ret[nez+i][1]);
343
344         //e[nez+i+nr][1] = e_ret[nez+nr+i+nr][1]
345 + ct1 * (e[nez+nr+i+nr][1] - e_ret[nez+i+nr][1]);
346
347         //e[nez+i+nr*4][1] = e_ret[nez+nr+i+nr*4][1]
348 + ct1 * (e[nez+nr+i+nr*4][1] - e_ret[nez+i+nr*4][1]);
349     }
350 }
351
352 void BC(int nr, int nez, Matrix &e, double t, double freq){
353     int i;
354     double f;
355     f = freq * t * 1000000.0 * MPI * 2.0;
356     for(i = 1; i <= nr; i++){
357         //for(i = nr + 1; i <= (nr * 2); i++){
358         //for(i = (nr*5 + 1); i <= (nr * 6); i++){
359         e[nez+i][1] = .05 * sin(f);
360     }
361 }
362
363 void Make_wall(int enz, int nr, int nz, int ner, int nez,
364 Matrix &e, int Height[], int Width[]){
365     int h_in = Height[0];
366     int h_low = Height[1];
367     int h_high = Height[2];
368     int w_init = Width[0];
369     int w_narrow = Width[1];
370     int w_wide = Width[2];
371     int h = 0;
372     int w = 0;
373
374     h = h_high;

```

```

375 w = w_init;
376
377 int i = 0;
378 int j = 0;
379 int k = 0;
380 int count = 0;
381 int flag = 0;
382
383 /*
384 for (i = 1; i < h_in; i++){
385     e[nez+i*nr][1] = 0.0;
386 }
387 */
388 for (i = h_high; i <= nr; i++){
389     e[nez+i][1] = 0.0;
390 }
391 /*
392 for (i = 0; i <= nz; i++){
393     e[enz+1+i*nr][1] = 0.0;
394 }
395 */
396 /*
397 for (i = 0; i <= nz; i++){
398     e[enz+h_in+i*nr][1] = 0.0;
399 }
400 */
401 for (i = 0; i <= nz-1; i++){
402
403     if (0 == flag && count >= w){
404
405         for (h = h_high; h >= h_low; h--){
406             e[nez+h+i*nr][1] = 0.0;
407         }
408
409         flag = !flag;
410         h = h_low;
411         w = w_wide;
412         count = 0;
413     }
414
415     if (1 == flag && count >= w_narrow){
416
417         for (h = h_low; h <= h_high; h++){
418             e[nez+h+i*nr][1] = 0.0;
419         }
420
421         flag = !flag;
422         h = h_high;
423         count = 0;
424     }
425
426     e[h+i*nr][1] = 0.0;
427     count++;
428 }
429

```

```

430 }
431
432 int File_out(char filename [], int nr, int nz, int nez, int ne,
433 Matrix e, Matrix b){
434     FILE *fp;
435
436     static int i = 0;
437     static int j = 0;
438     static int k = 0;
439     static int n = 0;
440
441     int r = 0;
442     int z = 0;
443     char temp_c[80];
444
445     strcpy (temp_c, filename);
446
447     n++;
448     i++;
449     if(10 <= i){
450         j++;
451         if(10 <= j){
452             k++;
453             j = 0;
454         }
455         i = 0;
456     }
457
458     for(r = 0; r <= 2; r++){
459         if(0 == r){
460             z = k;
461         }
462         else if(1 == r){
463             z = j;
464         }
465         else if(2 == r){
466             z = i;
467         }
468         else{
469             printf(" error!\n");
470         }
471
472         switch(z){
473             case 0:
474                 if(!(0 == k && 0 == r || 0 == k && 0 == j && 1 == r))
475                     {
476                         strcat(filename, "0" );
477                     }
478                 break;
479
480             case 1:
481                 strcat(filename, "1" );
482                 break;
483
484             case 2:

```

```

485     strcat(filename, "2" );
486     break;
487
488     case 3:
489         strcat(filename, "3" );
490         break;
491
492     case 4:
493         strcat(filename, "4" );
494         break;
495
496     case 5:
497         strcat(filename, "5" );
498         break;
499
500     case 6:
501         strcat(filename, "6" );
502         break;
503
504     case 7:
505         strcat(filename, "7" );
506         break;
507
508     case 8:
509         strcat(filename, "8" );
510         break;
511
512     case 9:
513         strcat(filename, "9" );
514         break;
515
516     default:
517         break;
518     }
519 }
520
521 int count = 0;
522 fp = fopen(filename, "w");
523 for (z = 1; z <= (nz); z++){
524     for (r = 1; r <= (nr); r++){
525         count++;
526         //fprintf(fp, "%lf\n", e[nez+count][1]);
527         fprintf(fp, "%lf\n", b[count][1]);
528     }
529     fprintf(fp, "\n");
530 }
531 fclose(fp);
532 cout << filename << "\n";
533 strcpy (filename, temp.c);
534 return n;
535 }
536
537 void Cal_mag(Matrix e, Matrix &b, Matrix ce, double cte, int nb){
538     int i = 1;
539     int j = 1;

```

```

540  int sign = 0;
541  int num = 0;
542  double sum = .0;
543
544  for(i = 1; i <= nb; i++){
545
546      while( ce[i][j] ){
547          num = int ( fabs ( ce[i][j] ) );
548          sign = int( ce[i][j] / num );
549          sum += sign * e[num][1];
550          j++;
551      }
552
553      b[i][1] -= cte * sum;
554      j = 1;
555      sum = 0.0;
556  }
557
558 }
559
560 void Ret_ele(Matrix e, Matrix &e_ret, int ne, int nr, int nez){
561     int i = 1;
562
563     for(i = 1; i <= (nr); i++){
564         e_ret[ne-2*nr+i][1] = e[ne-2*nr+i][1];
565         e_ret[ne-nr+i][1] = e[ne-nr+i][1];
566
567         e_ret[nez+2*nr+i][1] = e[nez+2*nr+i][1];
568         e_ret[nez+nr+i][1] = e[nez+nr+i][1];
569         e_ret[nez+i][1] = e[nez+i][1];
570     }
571 }
572
573 void Cal_ele(Matrix &e, Matrix b, Matrix cb, int ne, int nez,
574 int nr, double R0, double dlr, double ctb){
575     int i = 1;
576     int j = 1;
577     int k = 1;
578     double r1 = .0;
579     double r2 = .0;
580     double rr = .0;
581     int num = 0;
582     int sign = 0;
583     double sum = .0;
584
585     for(i = 1; i <= ne; i++){
586
587         //if(i > nez){
588         if(i <= nez){
589             /*
590             if(1 == ((i - nez) % (nr + 1))){
591                 k = 20;
592             }
593             else{
594                 r1 = dlr * (i%nr) + R0;

```

```

595         r2 = dlr * (i%nr+1) + R0;
596         k = 10;
597     }
598     */
599
600     r1 = dlr * (i%nr) + R0;
601     r2 = dlr * (i%nr+1) + R0;
602     k = 10;
603
604 }
605 else{
606     k = 0;
607 }
608
609 while(cb[i][j]){
610     num = int ( fabs ( cb[i][j] ) );
611     sign = int ( cb[i][j] / num );
612
613     switch(j+k){
614     case 11:
615         rr = 2.0 * r1 / (r2 + r1);
616         //cout << rr << "\n";
617         break;
618     case 12:
619         rr = 2.0 * r2 / (r2 + r1);
620         //cout << rr << "\n";
621         break;
622     case 21:
623     case 22:
624         //rr = dlr / 2.0 * M_PI;
625         rr = dlr * M_PI;
626         //cout << rr << "\n";
627         break;
628     default:
629         rr = 1.0;
630         break;
631     }
632
633     //cout << rr << "\n";
634     sum += sign * b[num][1] * rr;
635     //sum += sign * b[num][1];
636     j++;
637 }
638 e[i][1] += ctb * sum;
639 j = 1;
640 sum = 0.0;
641 }
642 }

```